

# Metodi di regolarizzazione in spazi di Banach e applicazioni alla ricostruzione di immagini

Corso di Metodi Numerici in Informatica

Emanuele Frandi

In collaborazione con Claudio Estatico  
Università degli Studi dell'Insubria

Seminario - 11 maggio 2011



# Introduzione

---

**Scopo:** risolvere il problema inverso (mal posto)

$$Fx = y,$$

dove  $y$  è il dato a disposizione (esempio: un'immagine sfuocata) e  $x$  è la soluzione da ricostruire.

# Introduzione

---

**Scopo:** risolvere il problema inverso (mal posto)

$$Fx = y,$$

dove  $y$  è il dato a disposizione (esempio: un'immagine sfuocata) e  $x$  è la soluzione da ricostruire.

- Caso classico:  $F : \mathcal{X} \rightarrow \mathcal{Y}$  è un operatore tra **spazi di Hilbert**.

# Introduzione

---

**Scopo:** risolvere il problema inverso (mal posto)

$$Fx = y,$$

dove  $y$  è il dato a disposizione (esempio: un'immagine sfuocata) e  $x$  è la soluzione da ricostruire.

- Caso classico:  $F : \mathcal{X} \rightarrow \mathcal{Y}$  è un operatore tra **spazi di Hilbert**.
- Si può generalizzare al caso di un'equazione tra **spazi di Banach**?  
Ci sono motivi per farlo?

# Introduzione

---

**Scopo:** risolvere il problema inverso (mal posto)

$$Fx = y,$$

dove  $y$  è il dato a disposizione (esempio: un'immagine sfuocata) e  $x$  è la soluzione da ricostruire.

- Caso classico:  $F : \mathcal{X} \rightarrow \mathcal{Y}$  è un operatore tra **spazi di Hilbert**.
- Si può generalizzare al caso di un'equazione tra **spazi di Banach**?  
Ci sono motivi per farlo? Sì (vedremo perché)...

# Regolarizzazione di Tikhonov in spazi di Hilbert

---

Riprendiamo per adesso i problemi inversi in spazi di Hilbert.

## Regolarizzazione di Tikhonov in spazi di Hilbert

---

Riprendiamo per adesso i problemi inversi in spazi di Hilbert.  
Una prima opzione per risolverli è la regolarizzazione di Tikhonov

$$x_\alpha = \min_x \left( \frac{1}{2} \|Fx - y\|_Y^2 + \alpha \frac{1}{2} \|x\|_X^2 \right).$$

## Regolarizzazione di Tikhonov in spazi di Hilbert

---

Riprendiamo per adesso i problemi inversi in spazi di Hilbert.  
Una prima opzione per risolverli è la regolarizzazione di Tikhonov

$$x_\alpha = \min_x \left( \frac{1}{2} \|Fx - y\|_Y^2 + \alpha \frac{1}{2} \|x\|_X^2 \right).$$

- $\alpha$  è un parametro di regolarizzazione (rappresenta un compromesso tra la fedeltà della soluzione al dato e la regolarità della stessa).



## Regolarizzazione di Tikhonov in spazi di Hilbert

---

Riprendiamo per adesso i problemi inversi in spazi di Hilbert.  
Una prima opzione per risolverli è la regolarizzazione di Tikhonov

$$x_\alpha = \min_x \left( \frac{1}{2} \|Fx - y\|_Y^2 + \alpha \frac{1}{2} \|x\|_X^2 \right).$$

- $\alpha$  è un parametro di regolarizzazione (rappresenta un compromesso tra la fedeltà della soluzione al dato e la regolarità della stessa).
- Per trovare un valore buono di  $\alpha$ , occorre risolvere il problema di minimo diverse volte

## Regolarizzazione di Tikhonov in spazi di Hilbert

---

Riprendiamo per adesso i problemi inversi in spazi di Hilbert.  
Una prima opzione per risolverli è la regolarizzazione di Tikhonov

$$x_\alpha = \min_x \left( \frac{1}{2} \|Fx - y\|_Y^2 + \alpha \frac{1}{2} \|x\|_X^2 \right).$$

- $\alpha$  è un parametro di regolarizzazione (rappresenta un compromesso tra la fedeltà della soluzione al dato e la regolarità della stessa).
- Per trovare un valore buono di  $\alpha$ , occorre risolvere il problema di minimo diverse volte  $\Rightarrow$  numericamente pesante...

# Il metodo di Landweber in spazi di Hilbert

---

Approccio alternativo: metodi iterativi come quello di Landweber

$$x_{k+1} = x_k - \lambda_k F^*(Fx_k - y),$$

# Il metodo di Landweber in spazi di Hilbert

---

Approccio alternativo: metodi iterativi come quello di Landweber

$$x_{k+1} = x_k - \lambda_k F^*(Fx_k - y),$$

che può essere interpretato come uno schema di punto fisso o come una procedura di minimizzazione iterativa del funzionale convesso

$$H_2(x) = \frac{1}{2} \|Fx - y\|_Y^2.$$

## Il metodo di Landweber in spazi di Hilbert

---

Approccio alternativo: metodi iterativi come quello di Landweber

$$x_{k+1} = x_k - \lambda_k F^*(Fx_k - y),$$

che può essere interpretato come uno schema di punto fisso o come una procedura di minimizzazione iterativa del funzionale convesso

$$H_2(x) = \frac{1}{2} \|Fx - y\|_Y^2.$$

- In questo caso il parametro di regolarizzazione è rappresentato dall'indice di iterazione  $k$ .

# Il metodo di Landweber in spazi di Hilbert

---

Approccio alternativo: metodi iterativi come quello di Landweber

$$x_{k+1} = x_k - \lambda_k F^*(Fx_k - y),$$

che può essere interpretato come uno schema di punto fisso o come una procedura di minimizzazione iterativa del funzionale convesso

$$H_2(x) = \frac{1}{2} \|Fx - y\|_Y^2.$$

- In questo caso il parametro di regolarizzazione è rappresentato dall'indice di iterazione  $k$ .
- Convergenza lenta, ma di fatto l'arresto è anticipato per impedire la ricostruzione di componenti affette da rumore.

# Vantaggi e svantaggi degli spazi di Hilbert

---

## Vantaggi

# Vantaggi e svantaggi degli spazi di Hilbert

---

## Vantaggi

- Gli spazi di Hilbert sono dotati di prodotto scalare e godono di proprietà che li rendono simili agli spazi euclidei.



# Vantaggi e svantaggi degli spazi di Hilbert

---

## Vantaggi

- Gli spazi di Hilbert sono dotati di prodotto scalare e godono di proprietà che li rendono simili agli spazi euclidei.
- Possibilità di utilizzare la teoria spettrale per studiare gli operatori lineari (strumento potente per studiare la convergenza e le proprietà di regolarizzazione dei metodi).

# Vantaggi e svantaggi degli spazi di Hilbert

---

## Vantaggi

- Gli spazi di Hilbert sono dotati di prodotto scalare e godono di proprietà che li rendono simili agli spazi euclidei.
- Possibilità di utilizzare la teoria spettrale per studiare gli operatori lineari (strumento potente per studiare la convergenza e le proprietà di regolarizzazione dei metodi).

## Svantaggi

# Vantaggi e svantaggi degli spazi di Hilbert

---

## Vantaggi

- Gli spazi di Hilbert sono dotati di prodotto scalare e godono di proprietà che li rendono simili agli spazi euclidei.
- Possibilità di utilizzare la teoria spettrale per studiare gli operatori lineari (strumento potente per studiare la convergenza e le proprietà di regolarizzazione dei metodi).

## Svantaggi

- Le soluzioni ottenute tramite regolarizzazione sono a volte troppo regolari e rendono difficile ricostruire segnali che presentino brusche variazioni.

# Vantaggi e svantaggi degli spazi di Hilbert

---

## Vantaggi

- Gli spazi di Hilbert sono dotati di prodotto scalare e godono di proprietà che li rendono simili agli spazi euclidei.
- Possibilità di utilizzare la teoria spettrale per studiare gli operatori lineari (strumento potente per studiare la convergenza e le proprietà di regolarizzazione dei metodi).

## Svantaggi

- Le soluzioni ottenute tramite regolarizzazione sono a volte troppo regolari e rendono difficile ricostruire segnali che presentino brusche variazioni.
- Nella ricostruzione di immagini, questo si traduce nella difficoltà di localizzare in maniera nitida i bordi degli oggetti.

# Vantaggi e svantaggi degli spazi di Banach

---

## Vantaggi

# Vantaggi e svantaggi degli spazi di Banach

---

## Vantaggi

- Riduzione del fenomeno dell'*oversmoothing*, possibilità di ricostruire in modo soddisfacente segnali di tipo impulsivo.

# Vantaggi e svantaggi degli spazi di Banach

---

## Vantaggi

- Riduzione del fenomeno dell'*oversmoothing*, possibilità di ricostruire in modo soddisfacente segnali di tipo impulsivo.
- Lavorare in spazi di Banach favorisce la **sparsità** delle soluzioni, caratteristica utile su problemi di grandi dimensioni (costo computazionale e di memoria ridotto).

# Vantaggi e svantaggi degli spazi di Banach

---

## Vantaggi

- Riduzione del fenomeno dell'*oversmoothing*, possibilità di ricostruire in modo soddisfacente segnali di tipo impulsivo.
- Lavorare in spazi di Banach favorisce la **sparsità** delle soluzioni, caratteristica utile su problemi di grandi dimensioni (costo computazionale e di memoria ridotto).

## Svantaggi



# Vantaggi e svantaggi degli spazi di Banach

---

## Vantaggi

- Riduzione del fenomeno dell'*oversmoothing*, possibilità di ricostruire in modo soddisfacente segnali di tipo impulsivo.
- Lavorare in spazi di Banach favorisce la **sparsità** delle soluzioni, caratteristica utile su problemi di grandi dimensioni (costo computazionale e di memoria ridotto).

## Svantaggi

- Si ottengono metodi più difficili da studiare (sono necessari concetti di analisi sofisticati) e non immediati dal punto di vista intuitivo.

# Generalizzazione dell'iterazione di Landweber

---

Cerchiamo di capire come generalizzare l'algoritmo di Landweber.

## Generalizzazione dell'iterazione di Landweber

---

Cerchiamo di capire come generalizzare l'algoritmo di Landweber.

- $F^* : \mathcal{Y}^* \rightarrow \mathcal{X}^*$  è l'operatore duale di  $F$ , ossia l'operatore tale che

$$(F^* y^*)(x) = y^*(Fx) \text{ per ogni } x \in \mathcal{X}, y^* \in \mathcal{Y}^*,$$

dove  $\mathcal{X}^*$  e  $\mathcal{Y}^*$  sono gli spazi duali di  $\mathcal{X}$  e  $\mathcal{Y}$ .

## Generalizzazione dell'iterazione di Landweber

---

Cerchiamo di capire come generalizzare l'algoritmo di Landweber.

- $F^* : \mathcal{Y}^* \rightarrow \mathcal{X}^*$  è l'operatore duale di  $F$ , ossia l'operatore tale che

$$(F^* y^*)(x) = y^*(Fx) \text{ per ogni } x \in \mathcal{X}, y^* \in \mathcal{Y}^*,$$

dove  $\mathcal{X}^*$  e  $\mathcal{Y}^*$  sono gli spazi duali di  $\mathcal{X}$  e  $\mathcal{Y}$ .

- Ora, se  $\mathcal{X}$  e  $\mathcal{Y}$  sono spazi di Hilbert, grazie al Teorema di Rappresentazione di Riesz sappiamo che  $\mathcal{X}$  è isomorfo a  $\mathcal{X}^*$ , e lo stesso per  $\mathcal{Y}$  e  $\mathcal{Y}^*$ , per cui possiamo vedere  $F^*$  come operatore da  $\mathcal{Y}$  in  $\mathcal{X}$ . L'iterazione di Landweber risulta così ben definita...

## Generalizzazione dell'iterazione di Landweber

---

Cerchiamo di capire come generalizzare l'algoritmo di Landweber.

- $F^* : \mathcal{Y}^* \rightarrow \mathcal{X}^*$  è l'operatore duale di  $F$ , ossia l'operatore tale che

$$(F^* y^*)(x) = y^*(Fx) \text{ per ogni } x \in \mathcal{X}, y^* \in \mathcal{Y}^*,$$

dove  $\mathcal{X}^*$  e  $\mathcal{Y}^*$  sono gli spazi duali di  $\mathcal{X}$  e  $\mathcal{Y}$ .

- Ora, se  $\mathcal{X}$  e  $\mathcal{Y}$  sono spazi di Hilbert, grazie al Teorema di Rappresentazione di Riesz sappiamo che  $\mathcal{X}$  è isomorfo a  $\mathcal{X}^*$ , e lo stesso per  $\mathcal{Y}$  e  $\mathcal{Y}^*$ , per cui possiamo vedere  $F^*$  come operatore da  $\mathcal{Y}$  in  $\mathcal{X}$ . L'iterazione di Landweber risulta così ben definita...
- ... ma questo in uno spazio di Banach non vale!

## Iterazioni di tipo Landweber in spazi di Banach

---

- In generale, uno spazio di Banach non è isomorfo al suo duale, per cui un termine del tipo  $F^*(F x_k - y)$  non ha senso, perché l'operatore  $F^*$  non può essere applicato a  $F x_k - y \in \mathcal{Y}$ ...

## Iterazioni di tipo Landweber in spazi di Banach

---

- In generale, uno spazio di Banach non è isomorfo al suo duale, per cui un termine del tipo  $F^*(Fx_k - y)$  non ha senso, perché l'operatore  $F^*$  non può essere applicato a  $Fx_k - y \in \mathcal{Y}$ ...
- ...né d'altra parte potremmo sommare  $x_k$  all'elemento restituito da  $F^*$ , che apparterrebbe a  $\mathcal{X}^*$ .

## Iterazioni di tipo Landweber in spazi di Banach

---

- In generale, uno spazio di Banach non è isomorfo al suo duale, per cui un termine del tipo  $F^*(Fx_k - y)$  non ha senso, perché l'operatore  $F^*$  non può essere applicato a  $Fx_k - y \in \mathcal{Y}$ ...
- ...né d'altra parte potremmo sommare  $x_k$  all'elemento restituito da  $F^*$ , che apparterebbe a  $\mathcal{X}^*$ .
- Occorre allora uno schema generale che somigli ad un metodo di discesa in  $\mathcal{X}^*$ , del tipo

$$\tilde{x}_{k+1}^* = \tilde{x}_k^* - \lambda_k \Phi_F(x_k, y),$$

dove  $\Phi_F(x_k, y)$  deve essere una qualche sorta di "differenziale" del funzionale  $H_r(x) = \frac{1}{r} \|Fx - y\|_Y^r$ .



## Iterazioni di tipo Landweber in spazi di Banach

---

- In generale, uno spazio di Banach non è isomorfo al suo duale, per cui un termine del tipo  $F^*(Fx_k - y)$  non ha senso, perché l'operatore  $F^*$  non può essere applicato a  $Fx_k - y \in \mathcal{Y}$ ...
- ...né d'altra parte potremmo sommare  $x_k$  all'elemento restituito da  $F^*$ , che appartenerrebbe a  $\mathcal{X}^*$ .
- Occorre allora uno schema generale che somigli ad un metodo di discesa in  $\mathcal{X}^*$ , del tipo

$$\tilde{x}_{k+1}^* = \tilde{x}_k^* - \lambda_k \Phi_F(x_k, y),$$

dove  $\Phi_F(x_k, y)$  deve essere una qualche sorta di "differenziale" del funzionale  $H_r(x) = \frac{1}{r} \|Fx - y\|_Y^r$ .

- Ci vuole infine una funzione che associ a  $\tilde{x}_{k+1}^* \in \mathcal{X}^*$  una nuova iterata  $x_{k+1} \in \mathcal{X}$ .

## Mappe di dualità

---

Il concetto che ci serve è quello di **mappa di dualità**. Si tratta di una particolare funzione che associa un elemento di uno spazio di Banach  $\mathcal{B}$  con un elemento del suo duale  $\mathcal{B}^*$ .

## Mappe di dualità

---

Il concetto che ci serve è quello di **mappa di dualità**. Si tratta di una particolare funzione che associa un elemento di uno spazio di Banach  $\mathcal{B}$  con un elemento del suo duale  $\mathcal{B}^*$ .

- Assegnati  $b \in \mathcal{B}$  e  $b^* \in \mathcal{B}^*$ , introduciamo la notazione

$$b^*(b) = \langle b^*, b \rangle = \langle b, b^* \rangle \in \mathbb{R}.$$

## Mappe di dualità

---

Il concetto che ci serve è quello di **mappa di dualità**. Si tratta di una particolare funzione che associa un elemento di uno spazio di Banach  $\mathcal{B}$  con un elemento del suo duale  $\mathcal{B}^*$ .

- Assegnati  $b \in \mathcal{B}$  e  $b^* \in \mathcal{B}^*$ , introduciamo la notazione

$$b^*(b) = \langle b^*, b \rangle = \langle b, b^* \rangle \in \mathbb{R}.$$

- Dato  $r > 1$ , definiamo la mappa di dualità  $J_r^{\mathcal{B}} : \mathcal{B} \rightarrow 2^{\mathcal{B}^*}$  come l'operatore multi-valore tale che per ogni  $b \in \mathcal{B}$

$$J_r^{\mathcal{B}}(b) = \{b^* \in \mathcal{B}^* : \langle b^*, b \rangle = \|b\|_{\mathcal{B}} \|b^*\|_{\mathcal{B}^*}, \|b^*\|_{\mathcal{B}^*} = \|b\|_{\mathcal{B}}^{r-1}\}.$$

## Mappe di dualità

---

Il concetto che ci serve è quello di **mappa di dualità**. Si tratta di una particolare funzione che associa un elemento di uno spazio di Banach  $\mathcal{B}$  con un elemento del suo duale  $\mathcal{B}^*$ .

- Assegnati  $b \in \mathcal{B}$  e  $b^* \in \mathcal{B}^*$ , introduciamo la notazione

$$b^*(b) = \langle b^*, b \rangle = \langle b, b^* \rangle \in \mathbb{R}.$$

- Dato  $r > 1$ , definiamo la mappa di dualità  $J_r^{\mathcal{B}} : \mathcal{B} \rightarrow 2^{\mathcal{B}^*}$  come l'operatore multi-valore tale che per ogni  $b \in \mathcal{B}$

$$J_r^{\mathcal{B}}(b) = \{b^* \in \mathcal{B}^* : \langle b^*, b \rangle = \|b\|_{\mathcal{B}} \|b^*\|_{\mathcal{B}^*}, \|b^*\|_{\mathcal{B}^*} = \|b\|_{\mathcal{B}}^{r-1}\}.$$

- Il valore di  $r$  in realtà non ha grande importanza in quanto agisce soltanto come fattore di scala, in virtù dell'identità

$$J_r^{\mathcal{B}}(b) = \|b\|_{\mathcal{B}}^{r-2} J_2^{\mathcal{B}}(b) \text{ per ogni } b \in \mathcal{B}, b \neq 0.$$

## Mappe di dualità

---

- Si può vedere che se lo spazio è di Hilbert la mappa  $J_2^{\mathcal{B}}$  non è altro che l'isomorfismo isometrico tra  $\mathcal{B}$  e  $\mathcal{B}^*$ . Pertanto, in virtù del Teorema di Rappresentazione di Riesz, possiamo identificarlo con l'identità, riconducendoci allo schema classico.

## Mappe di dualità

---

- Si può vedere che se lo spazio è di Hilbert la mappa  $J_2^{\mathcal{B}}$  non è altro che l'isomorfismo isometrico tra  $\mathcal{B}$  e  $\mathcal{B}^*$ . Pertanto, in virtù del Teorema di Rappresentazione di Riesz, possiamo identificarlo con l'identità, riconducendoci allo schema classico.
- In generale, si presuppone la scelta di un elemento arbitrario nell'immagine della mappa. Tuttavia, nel caso degli spazi  $L^p$ ,  $p \in (1, \infty)$  si può mostrare che

$$J_r^{L^p}(x) = \|x\|_p^{r-p} |x|^{p-1} \operatorname{sgn}(x).$$

## Mappe di dualità

---

- Si può vedere che se lo spazio è di Hilbert la mappa  $J_2^{\mathcal{B}}$  non è altro che l'isomorfismo isometrico tra  $\mathcal{B}$  e  $\mathcal{B}^*$ . Pertanto, in virtù del Teorema di Rappresentazione di Riesz, possiamo identificarlo con l'identità, riconducendoci allo schema classico.
- In generale, si presuppone la scelta di un elemento arbitrario nell'immagine della mappa. Tuttavia, nel caso degli spazi  $L^p$ ,  $p \in (1, \infty)$  si può mostrare che

$$J_r^{L^p}(x) = \|x\|_p^{r-p} |x|^{p-1} \operatorname{sgn}(x).$$

- Uno spazio di Banach per il quale tutte le mappe di dualità restituiscono un unico elemento è detto *smooth*.



## Il concetto di subdifferenziale

---

- Per capire il legame tra le mappe di dualità e lo schema di Landweber, introduciamo il concetto di **subdifferenziale**.

## Il concetto di subdifferenziale

---

- Per capire il legame tra le mappe di dualità e lo schema di Landweber, introduciamo il concetto di **subdifferenziale**.
- Dato un funzionale convesso  $f : \mathcal{B} \rightarrow \mathbb{R}$ , il subdifferenziale di  $f$  è l'operatore multi-valore  $\partial f : \mathcal{B} \rightarrow 2^{\mathcal{B}^*}$  definito nel modo seguente

$$\partial f(x_0) = \{g^* \in \mathcal{B}^* \mid f(x) \geq f(x_0) + \langle g^*, x - x_0 \rangle \forall x \in \mathcal{B}\}.$$

## Il concetto di subdifferenziale

---

- Per capire il legame tra le mappe di dualità e lo schema di Landweber, introduciamo il concetto di **subdifferenziale**.
- Dato un funzionale convesso  $f : \mathcal{B} \rightarrow \mathbb{R}$ , il subdifferenziale di  $f$  è l'operatore multi-valore  $\partial f : \mathcal{B} \rightarrow 2^{\mathcal{B}^*}$  definito nel modo seguente

$$\partial f(x_0) = \{g^* \in \mathcal{B}^* \mid f(x) \geq f(x_0) + \langle g^*, x - x_0 \rangle \forall x \in \mathcal{B}\}.$$

- Gli elementi di  $\partial f(x_0)$  si dicono **subgradienti**. In sostanza si cerca di vedere il gradiente non più come elemento dello spazio di partenza, ma come operatore (elemento del duale) che associa ad ogni punto  $x$  dello spazio uno scalare.

## Il concetto di subdifferenziale

---

- Per capire il legame tra le mappe di dualità e lo schema di Landweber, introduciamo il concetto di **subdifferenziale**.
- Dato un funzionale convesso  $f : \mathcal{B} \rightarrow \mathbb{R}$ , il subdifferenziale di  $f$  è l'operatore multi-valore  $\partial f : \mathcal{B} \rightarrow 2^{\mathcal{B}^*}$  definito nel modo seguente

$$\partial f(x_0) = \{g^* \in \mathcal{B}^* \mid f(x) \geq f(x_0) + \langle g^*, x - x_0 \rangle \forall x \in \mathcal{B}\}.$$

- Gli elementi di  $\partial f(x_0)$  si dicono **subgradienti**. In sostanza si cerca di vedere il gradiente non più come elemento dello spazio di partenza, ma come operatore (elemento del duale) che associa ad ogni punto  $x$  dello spazio uno scalare.
- Nel caso di uno spazio euclideo o di Hilbert, tale numero è il prodotto scalare del (sub)gradiente con la direzione di movimento  $x - x_0$ , e indica se si tratta di una direzione di salita o discesa.

## Il concetto di subdifferenziale

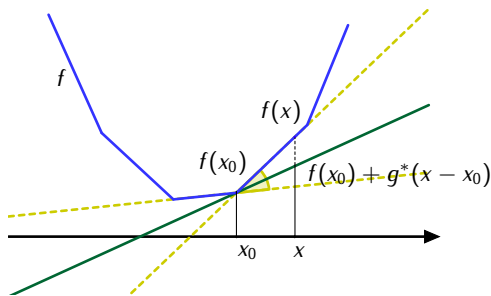
---

- Il subdifferenziale è stato concepito per generalizzare l'idea di gradiente nel contesto dell'ottimizzazione *nonsmooth*, dove l'obiettivo è quello di minimizzare una funzione non ovunque differenziabile.

## Il concetto di subdifferenziale

---

- Il subdifferenziale è stato concepito per generalizzare l'idea di gradiente nel contesto dell'ottimizzazione *nonsmooth*, dove l'obiettivo è quello di minimizzare una funzione non ovunque differenziabile.
- Esempio 1-dimensionale: il subdifferenziale di una funzione convessa  $f$  in  $x_0$  è l'insieme dei coefficienti angolari di tutti gli iperpiani di supporto di  $f$  in  $x_0$ .



# Mappe di dualità come subdifferenziali

---

Il risultato seguente è fondamentale.

## Mappe di dualità come subdifferenziali

---

Il risultato seguente è fondamentale.

### Teorema (Asplund)

*Sia  $\mathcal{B}$  uno spazio di Banach e sia  $r > 1$ . Si ha allora che*

$$J_r^{\mathcal{B}} = \partial f, \text{ dove } f(b) = \frac{1}{r} \|b\|_{\mathcal{B}}^r.$$



## Mappe di dualità come subdifferenziali

---

Il risultato seguente è fondamentale.

### Teorema (Asplund)

*Sia  $\mathcal{B}$  uno spazio di Banach e sia  $r > 1$ . Si ha allora che*

$$J_r^{\mathcal{B}} = \partial f, \text{ dove } f(b) = \frac{1}{r} \|b\|_{\mathcal{B}}^r.$$

- Ricordiamo che il nostro obiettivo era di differenziare il funzionale  $H_r(x) = \frac{1}{r} \|Fx - y\|_{\mathcal{Y}}^r$ , rispetto a  $x$ .

## Mappe di dualità come subdifferenziali

---

Il risultato seguente è fondamentale.

### Teorema (Asplund)

*Sia  $\mathcal{B}$  uno spazio di Banach e sia  $r > 1$ . Si ha allora che*

$$J_r^{\mathcal{B}} = \partial f, \text{ dove } f(b) = \frac{1}{r} \|b\|_{\mathcal{B}}^r.$$

- Ricordiamo che il nostro obiettivo era di differenziare il funzionale  $H_r(x) = \frac{1}{r} \|Fx - y\|_{\mathcal{Y}}^r$  rispetto a  $x$ .
- Sfruttando il Teorema di Asplund e la derivazione di funzione composta si ottiene subito

$$\partial H_r(x) = F^* J_r^{\mathcal{Y}}(Fx - y).$$

# Algoritmo di Landweber in spazi di Banach

---

Siamo finalmente in grado di dare forma compiuta all'algoritmo di Landweber.

## Algoritmo di Landweber in spazi di Banach

---

Siamo finalmente in grado di dare forma compiuta all'algoritmo di Landweber.

- Siano  $r, s > 1$  due valori fissati e  $s^*$  tale che  $\frac{1}{s} + \frac{1}{s^*} = 1$ . Sia  $x_0$  il punto di partenza dell'iterazione (ad esempio  $x_0 = 0$ ). Sia infine  $\tilde{x}_0^* = J_s^{\mathcal{X}}(x_0) \in \mathcal{X}^*$ . Per  $k = 0, 1, \dots$  definiamo:

$$\tilde{x}_{k+1}^* = \tilde{x}_k^* - \lambda_k \Phi_F(x_k, y)$$

$$x_{k+1} = J_{s^*}^{\mathcal{X}^*}(\tilde{x}_{k+1}^*),$$

con  $\Phi_F(x_k, y) = F^* J_r^{\mathcal{Y}}(F x_k - y) \in \partial H_r(x_k)$ .

## Algoritmo di Landweber in spazi di Banach

---

Siamo finalmente in grado di dare forma compiuta all'algoritmo di Landweber.

- Siano  $r, s > 1$  due valori fissati e  $s^*$  tale che  $\frac{1}{s} + \frac{1}{s^*} = 1$ . Sia  $x_0$  il punto di partenza dell'iterazione (ad esempio  $x_0 = 0$ ). Sia infine  $\tilde{x}_0^* = J_s^{\mathcal{X}}(x_0) \in \mathcal{X}^*$ . Per  $k = 0, 1, \dots$  definiamo:

$$\begin{aligned}\tilde{x}_{k+1}^* &= \tilde{x}_k^* - \lambda_k \Phi_F(x_k, y) \\ x_{k+1} &= J_{s^*}^{\mathcal{X}^*}(\tilde{x}_{k+1}^*),\end{aligned}$$

con  $\Phi_F(x_k, y) = F^* J_r^{\mathcal{Y}}(F x_k - y) \in \partial H_r(x_k)$ .

- Osserviamo che  $J_{s^*}^{\mathcal{X}^*}$  è una funzione da  $\mathcal{X}^*$  in  $2^{\mathcal{X}^{**}}$ . Pertanto affinché l'iterazione sia ben definita è necessario che  $\mathcal{X}$  sia **riflessivo**, ovvero che  $\mathcal{X}^{**}$  sia isometricamente isomorfo a  $\mathcal{X}$ . In questo modo ci assicuriamo che  $J_{s^*}^{\mathcal{X}^*} \subset \mathcal{X}$ .

# Risultati di convergenza

---

## Teorema (Schöpfer, Louis, Schuster)

*Siano  $\mathcal{X}$  uno spazio di Banach riflessivo e  $\mathcal{Y}$  uno spazio di Banach arbitrario. Sia  $x^\dagger$  soluzione generalizzata di  $Fx = y$ , con  $y \in \mathcal{R}(F)$ . Sia  $\{x_k\}$  la successione delle iterazioni generata dall'algoritmo di Landweber. Scegliendo opportunamente  $\lambda_k$ , si ha che*

$$\lim_{k \rightarrow \infty} \|x_k - x^\dagger\|_{\mathcal{X}} = 0.$$

# Risultati di convergenza

---

## Teorema (Schöpfer, Louis, Schuster)

*Siano  $\mathcal{X}$  uno spazio di Banach riflessivo e  $\mathcal{Y}$  uno spazio di Banach arbitrario. Sia  $x^\dagger$  soluzione generalizzata di  $Fx = y$ , con  $y \in \mathcal{R}(F)$ . Sia  $\{x_k\}$  la successione delle iterazioni generata dall'algoritmo di Landweber. Scegliendo opportunamente  $\lambda_k$ , si ha che*

$$\lim_{k \rightarrow \infty} \|x_k - x^\dagger\|_{\mathcal{X}} = 0.$$

Supponiamo ora di avere dati perturbati  $y_k^\delta$  tali che  $\|y_k^\delta - y\| \leq \delta_k$ , con  $\delta_k$  strettamente decrescente e tendente a 0. Possiamo implementare il criterio della discrepanza e fermarci quando

$$\|F x_k - y_k^\delta\| < \frac{1}{D} \delta_k,$$

dove  $D \in (0, 1)$ . Si mostra che valgono gli stessi risultati di convergenza del teorema precedente.

## Un semplice test di deconvoluzione 1-D

---

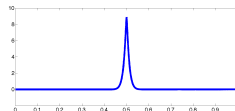
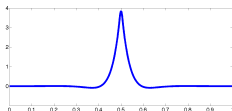
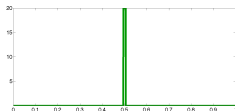
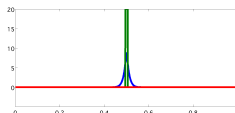
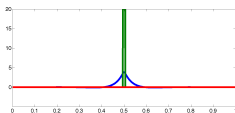
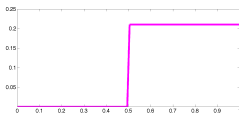
Risolviamo, data  $y$ , l'equazione  $y(t) = \int_0^t x(s)ds$ ,  $x, y : [0, 1] \rightarrow [0, 1]$ .  
A sinistra, il dato e la soluzione esatta. Al centro e a destra, le ricostruzioni dopo 500 iterazioni di Landweber con  $p = 2$  e  $p = 1.2$ .



# Un semplice test di deconvoluzione 1-D

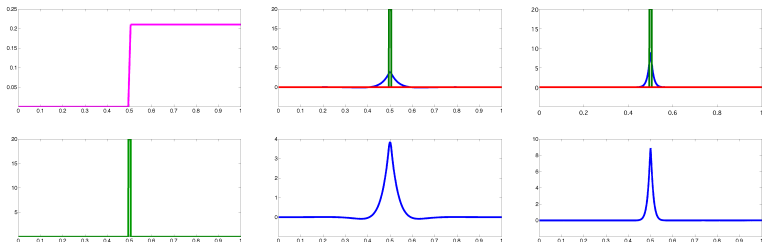
---

Risolviamo, data  $y$ , l'equazione  $y(t) = \int_0^t x(s)ds$ ,  $x, y : [0, 1] \rightarrow [0, 1]$ .  
A sinistra, il dato e la soluzione esatta. Al centro e a destra, le ricostruzioni dopo 500 iterazioni di Landweber con  $p = 2$  e  $p = 1.2$ .



# Un semplice test di deconvoluzione 1-D

Risolviamo, data  $y$ , l'equazione  $y(t) = \int_0^t x(s)ds$ ,  $x, y : [0, 1] \rightarrow [0, 1]$ .  
A sinistra, il dato e la soluzione esatta. Al centro e a destra, le ricostruzioni dopo 500 iterazioni di Landweber con  $p = 2$  e  $p = 1.2$ .



La ricostruzione per  $p = 2$  è nettamente *oversmoothed*, raggiunge appena  $1/5$  dell'ampiezza del segnale e ha componenti negative non presenti nella soluzione vera. Evidente il miglioramento con Banach!

# Sperimentazione sulle immagini

---

Vediamo come si comporta l'algoritmo su due problemi di *deblurring* di cui sia nota la soluzione esatta.

# Sperimentazione sulle immagini

---

Vediamo come si comporta l'algoritmo su due problemi di *deblurring* di cui sia nota la soluzione esatta.

- Prendiamo per semplicità condizioni al contorno nulle. Nel primo caso il dato è ricavato per via sperimentale ed è affetto da rumore, nel secondo lo otteniamo da una PSF gaussiana.

# Sperimentazione sulle immagini

---

Vediamo come si comporta l'algoritmo su due problemi di *deblurring* di cui sia nota la soluzione esatta.

- Prendiamo per semplicità condizioni al contorno nulle. Nel primo caso il dato è ricavato per via sperimentale ed è affetto da rumore, nel secondo lo otteniamo da una PSF gaussiana.
- Effettuiamo fino a  $k = 200$  iterazioni e vediamo cosa succede all'immagine e all'errore di ricostruzione relativo.

# Sperimentazione sulle immagini

---

Vediamo come si comporta l'algoritmo su due problemi di *deblurring* di cui sia nota la soluzione esatta.

- Prendiamo per semplicità condizioni al contorno nulle. Nel primo caso il dato è ricavato per via sperimentale ed è affetto da rumore, nel secondo lo otteniamo da una PSF gaussiana.
- Effettuiamo fino a  $k = 200$  iterazioni e vediamo cosa succede all'immagine e all'errore di ricostruzione relativo.
- Sperimentiamo con le norme  $L^p$  con  $p \in (1, 2]$ , dove  $p = 2$  corrisponde al Landweber classico.

# Sperimentazione sulle immagini

---

Vediamo come si comporta l'algoritmo su due problemi di *deblurring* di cui sia nota la soluzione esatta.

- Prendiamo per semplicità condizioni al contorno nulle. Nel primo caso il dato è ricavato per via sperimentale ed è affetto da rumore, nel secondo lo otteniamo da una PSF gaussiana.
- Effettuiamo fino a  $k = 200$  iterazioni e vediamo cosa succede all'immagine e all'errore di ricostruzione relativo.
- Sperimentiamo con le norme  $L^p$  con  $p \in (1, 2]$ , dove  $p = 2$  corrisponde al Landweber classico.
- Per valori troppo vicini a 1 si incontrano problemi numerici (per  $p = 1$  l'iterazione di Landweber non è definita).

# Sperimentazione sulle immagini

---

Vediamo come si comporta l'algoritmo su due problemi di *deblurring* di cui sia nota la soluzione esatta.

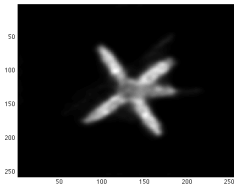
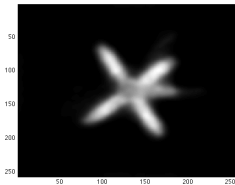
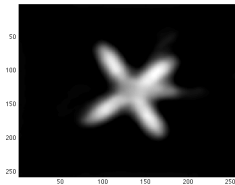
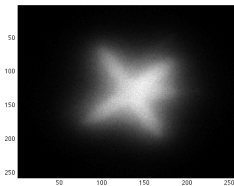
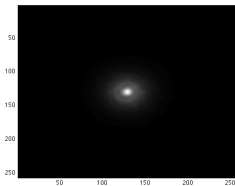
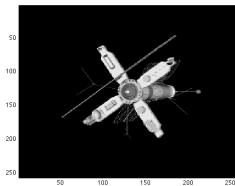
- Prendiamo per semplicità condizioni al contorno nulle. Nel primo caso il dato è ricavato per via sperimentale ed è affetto da rumore, nel secondo lo otteniamo da una PSF gaussiana.
- Effettuiamo fino a  $k = 200$  iterazioni e vediamo cosa succede all'immagine e all'errore di ricostruzione relativo.
- Sperimentiamo con le norme  $L^p$  con  $p \in (1, 2]$ , dove  $p = 2$  corrisponde al Landweber classico.
- Per valori troppo vicini a 1 si incontrano problemi numerici (per  $p = 1$  l'iterazione di Landweber non è definita).
- La lunghezza del passo  $\lambda_k = \tau$  è presa costante.



# Risultati numerici

---

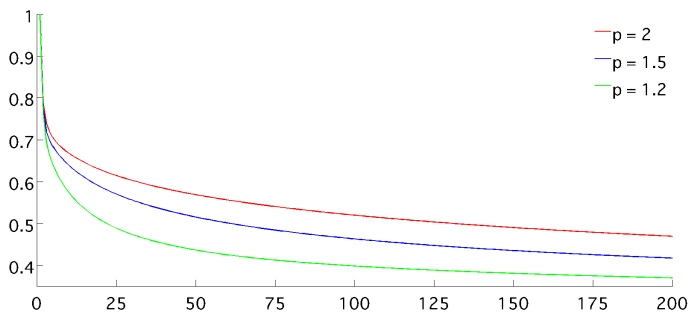
**Satellite:** in alto, immagine originale, PSF, immagine *blurred*; in basso, ricostruzioni per  $\rho = 2, 1.5, 1.2$ .



# Risultati numerici

---

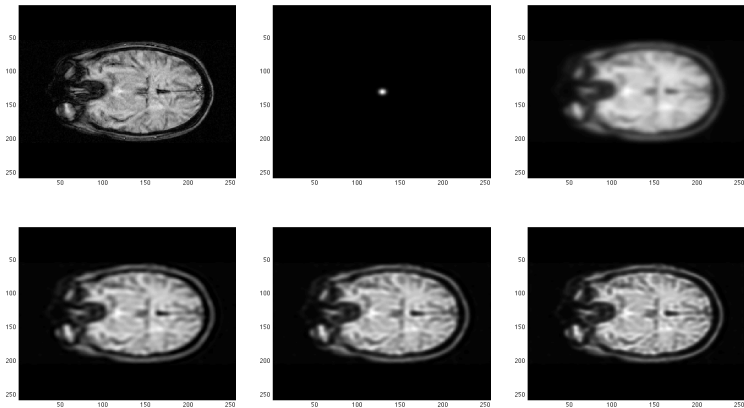
Satellite: andamento dell'errore relativo per  $p = 2, 1.5, 1.2$ .



# Risultati numerici

---

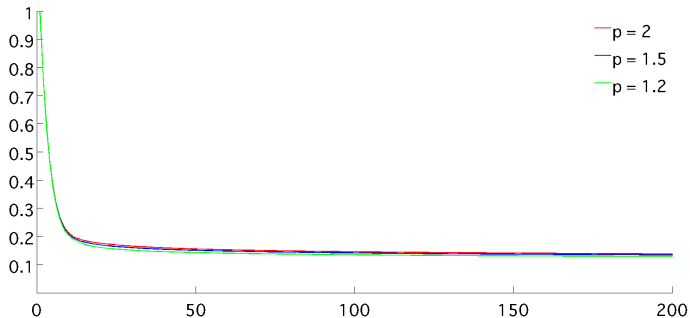
**Cervello:** in alto, immagine originale, PSF, immagine *blurred*; in basso, ricostruzioni per  $p = 2, 1.5, 1.2$ .



# Risultati numerici





---

**Cervello:** andamento dell'errore relativo per  $p = 2, 1.5, 1.2$ .



# Bibliografia

---

-  C. ESTATICO. *Recent frameworks for regularization*, 2011 (slide).
-  C. ESTATICO, M. PASTORINO, A. RANDAZZO. *A novel microwave imaging approach based on regularization in Banach spaces*, 2011 (submitted).
-  K. S. KAZIMIERSKI. *Minimization of the Tikhonov functional in Banach spaces smooth and convex of power type by steepest descent in the dual*, Computational Optimization and Applications **48**, No. 2 (2008), 309-324.
-  F. SCHÖPFER, A. K. LOUIS, T. SCHUSTER. *Nonlinear iterative methods for linear ill-posed problems in Banach Spaces*, Inverse Problems **22** (2006), 311-329.